ANR-15-ASTR-0019 HypFoM - Analyse du fond marin par imagerie hyperspectrale : une approche subpixel ; prise en compte de modèles du transfert radiatif précis de la colonne d'eau et du fond





M. Guillaume¹, S. Jay¹, A. Minghelli², M. Chami³, B. Lafrance⁴, Y. Deville⁵, V. Serfaty⁶

¹ Aix Marseille Univ., CNRS, Centrale Marseille, Institut Fresnel UMR 7249, 13013 Marseille, France; ² Univ. de Toulon, Seatech, LSIS UMR 7296, 83041 Toulon, France; ³ LATMOS, Univ. Pierre et Marie Curie - UMR CNRS 8190, OCA de Nice, Boulevard de l'Observatoire CS 34229 06304 Nice Cedex 4, France, ⁴ C-S SI, rue brindejonc des moulinais 31500 Toulouse, ⁵ IRAP, OMP, Univ. Paul Sabatier Toulouse 3, 14 Av. Edouard Belin, 31400 Toulouse, France, 6 DGA, MRIS, 60 boulevard Martial Valin - CS 21623 75509 PARIS Cedex 15







Objectifs

- Développer un modèle avancé de transfert radiatif de la colonne d'eau
- Développer des méthodes d'estimation et de dé-mélange des fonds
- Faire une cartographie des habitats benthiques de la zone de Porquerolles
- Evaluer théoriquement et expérimentalement la qualité des résultats

Estimation des paramètres et variabilité

Modèle de transfert radiatif : modèle classique de Lee (1)

$$r(\lambda; \mathbf{\Theta}) = r_{\infty}(\lambda) \left(1 - e^{-(k_d(\lambda) + k_u^c(\lambda))H} \right) + \frac{\rho_b}{\pi} e^{-(k_d(\lambda) + k_u^b(\lambda))H}$$

Paramètres bio-optiques

$$r_{\infty}(\lambda) = \left(0.084 + 0.17 \frac{b_b(\lambda)}{a(\lambda) + b_b(\lambda)}\right) \frac{b_b(\lambda)}{a(\lambda) + b_b(\lambda)}$$

$$k_d(\lambda) = \frac{a(\lambda) + b_b(\lambda)}{\cos \theta_s}$$

$$k_d(\lambda) = \frac{a(\lambda) + b_b(\lambda)}{\cos \theta_s}$$

$$b_b(\lambda) = b_{b,w}(\lambda) + X\left(\frac{550}{\lambda}\right)^{0.5}$$

 $a(\lambda) = a_w(\lambda) + \left[a_0(\lambda) + a_1(\lambda) \ln P\right] P + G \mathrm{e}^{-0.015(\lambda - 440)}$

$$k_u^b(\lambda) = 1.04(a(\lambda) + b_b(\lambda)) \left(1 + 5.4 \frac{b_b(\lambda)}{a(\lambda) + b_b(\lambda)}\right)^{0.5}$$
$$k_u^c(\lambda) = 1.03(a(\lambda) + b_b(\lambda)) \left(1 + 2.4 \frac{b_b(\lambda)}{a(\lambda) + b_b(\lambda)}\right)^{0.5}$$

Paramètres à estimer
$$\Delta = [H, P, G, X, B_1, B_2]$$

 $\rho_b(\lambda) = B_1 \rho_{b,1}(\lambda) + B_2 \rho_{b,2}(\lambda)$

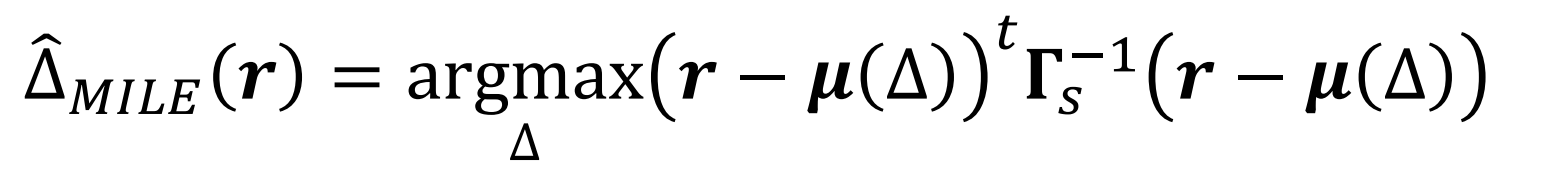
Modèle de variabilité : prise en compte du bruit et de la variabilité intrinsèque $r = \left[(I - K_c)r_\infty + K_b(B_1\mu_{b,1} + B_2\mu_{b,2}) \right] + \left[n_{surf} + K_b(B_1n_{b,1} + B_2n_{b,2}) \right]$

 $K_{b'}$ K_{c} : matrices d'atténuation

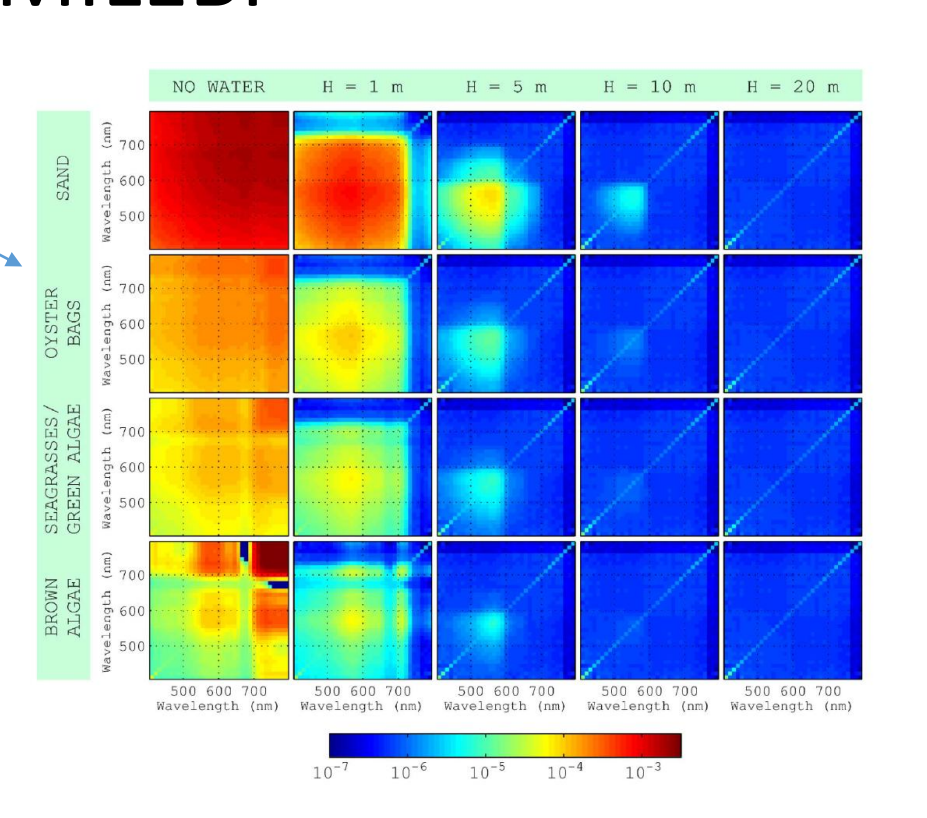
Bruit et variabilité intrinsèque

Estimation du maximum de vraisemblance : MILE ou MILEBI (2)

- Loi gaussienne multivariée : $\mu(\Delta) = r$; $\Gamma_{\scriptscriptstyle S}$ ou $\Gamma(\Delta)$
- Matrices de covariance du bruit et des espèces benthiques

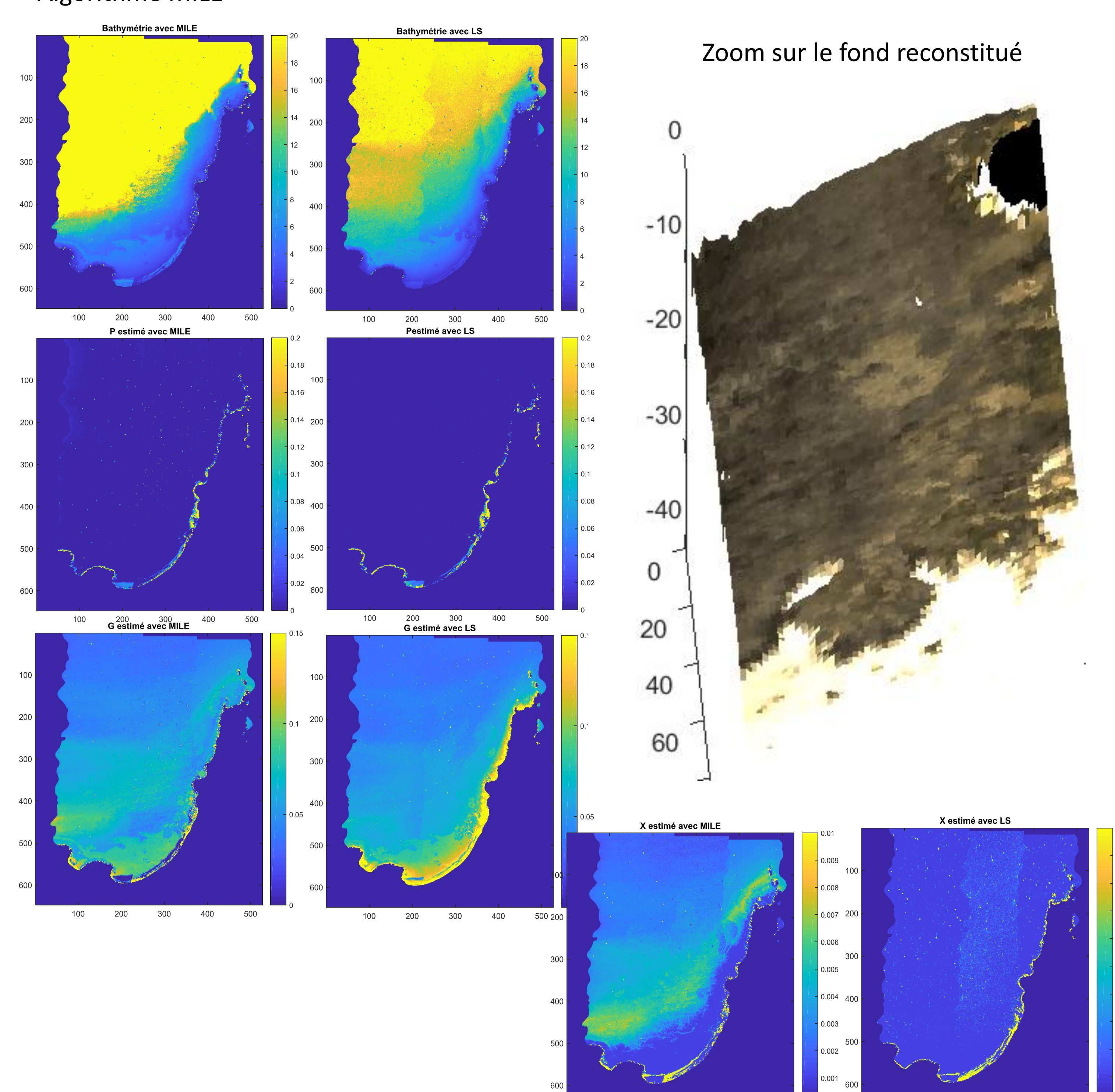


$$\widehat{\Delta}_{MILEBI}(\mathbf{r}) = \underset{\Delta}{\operatorname{argmax}} \left\{ |\mathbf{\Gamma}(\mathbf{\Delta})|^{-1/2} e^{-\frac{1}{2} (\mathbf{r} - \boldsymbol{\mu}(\Delta))^t \mathbf{\Gamma}(\mathbf{\Delta})^{-1} (\mathbf{r} - \boldsymbol{\mu}(\Delta))} \right\}$$



Résultats d'estimation

Cartographie des paramètres $\Delta = [H, P, G, X]$ à Porquerolles Algorithme MILE



Campagne de données



Précision de l'estimation

Estimation théorique de la précision : bornes de Frechet-Darmois-Cramer-Rao Les BCR donnent une borne inférieure pour la variance d'estimation à partir de l'inverse de la matrice d'information ⁽³⁾

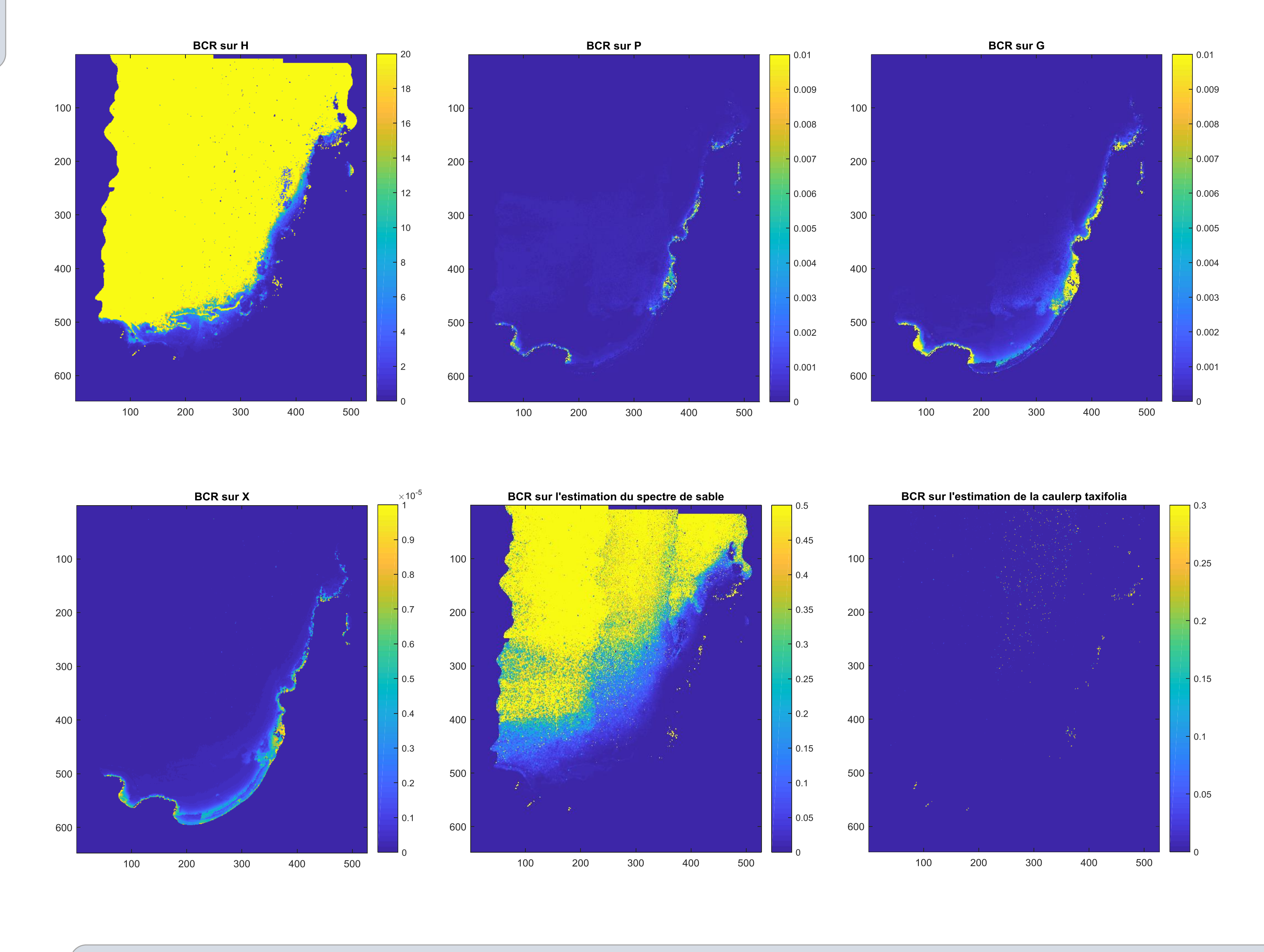
$$\mathbb{E}\left[\left(\widehat{\Delta}_{i}(\mathbf{r}_{rs}) - \Delta_{i}\right)^{2}\right] \geq \left[\mathbf{CRB}(\Delta)\right]_{i,i} \qquad \left[\mathbf{I}_{F}(\Delta)\right]_{i,j} = \mathbb{E}\left[\frac{\partial \ln(\mathrm{P}(\mathbf{r}_{rs}|\Delta))}{\partial \Delta_{i}} \frac{\partial \ln(\mathrm{P}(\mathbf{r}_{rs}|\Delta))}{\partial \Delta_{i}}\right]$$

Expression générale de l'information de Fisher :

$$[\mathbf{I}_{F}(\boldsymbol{\Delta})]_{i,j} = \frac{1}{2} \operatorname{tr} \left(\boldsymbol{\Gamma}_{s}^{-1} \frac{\partial \boldsymbol{\Gamma}_{s}}{\partial \Delta_{i}} \boldsymbol{\Gamma}_{s}^{-1} \frac{\partial \boldsymbol{\Gamma}_{s}}{\partial \Delta_{j}} \right) + \frac{\partial \boldsymbol{\mu}}{\partial \Delta_{i}} \boldsymbol{\Gamma}_{s}^{-1} \frac{\partial \boldsymbol{\mu}}{\partial \Delta_{j}}$$

Cartographie des BCR dans la zone de Porquerolles

- Estimation de la qualité de l'eau et des coefficients de fonds avec LS, MILE ou MILEBI
- Calcul des BCR correspondant à ces paramètres (-> BCR estimées)



Conclusion

- Campagne de données Porquerolles 2017
- Estimation robuste des fonds à partir d'une bibliothèque spectrale
- Calcul des bornes minimales d'erreur
- Résultats partiels du projet (autres travaux : modèle de transfert radiatif avancé + démélange)
- Perspectives : Comparaison avec une vérité terrain